

OEM: Telefunken

UAA145

Datasheet

Integrated Circuit

UAA145

phase control integrated circuit

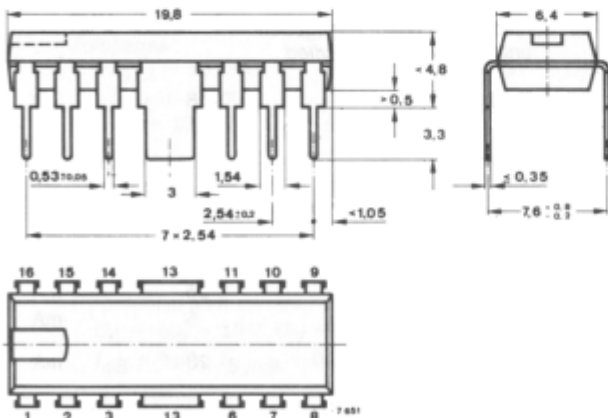
DATASHEET

OEM – Telefunken

Source: Telefunken Databook 1979/80

UAA 145 · UAA 146**Monolithisch integrierte Schaltungen**
Monolithic integrated circuits**Anwendung:** Thyristor-Phasenanschnittsteuerung**Application:** Phase control integrated circuits**Besondere Merkmale:**

- Phasenanschnittsteuerung, geeignet für Regelschaltungen hoher Präzision
- Getrennte Impulsausgänge für positiv bzw. negativ Netz-Halbwellen
- Impulsbreite der Ausgangsimpulse frei wählbar
- Phasenwinkel zwischen $>0^\circ$ und $<180^\circ$ einstellbar
- Hochohmiger Phasenschiebeeingang
- Impulssymmetrie zweier Halbwellen und mehrerer Schaltungen untereinander $<3^\circ$
- Keine Mehrfachimpulsbildung durch Störsignale am Verschiebeeingang
- Ausgangsimpuls-Sperrung möglich
- Suitable for phase-control in high precision regulators
- Separate pulse outputs for the positive and the negative half-cycle of the sync.signal
- Output pulse-width is freely adjustable
- Phase angle variable from $>0^\circ$ to $<180^\circ$
- High-impedance phase shift input
- Less than 3° pulse symmetry between two half-cycles or phase of different integrated circuits
- No multiple pulse generation due to noisy shift input
- Output pulse blocking possible

Vorläufige technische Daten · Preliminary specifications**Abmessungen in mm**
Dimensions in mm

Spezialgehäuse
Kunststoff
Special case
plastic
Gewicht · Weight
max. 1,5 g

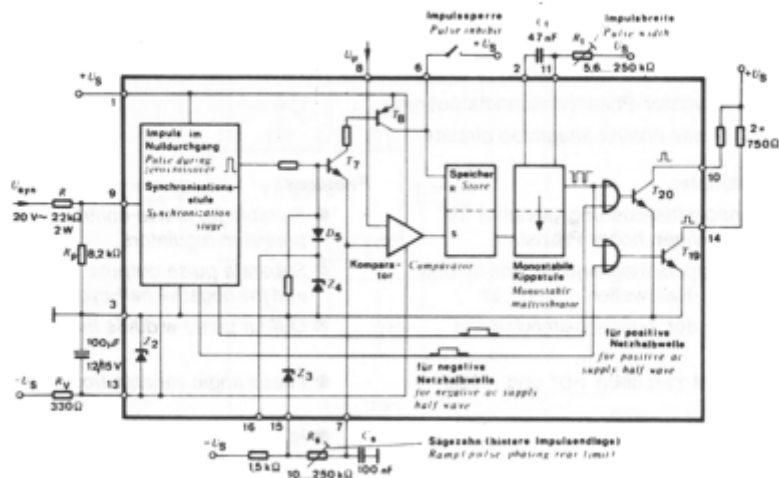
UAA 145 · UAA 146

Fig. 1 Blockschaltbild
Block diagram

Absolute Grenzdaten
Absolute maximum ratings

Bezugspunkt Pin 3, $t_{amb} = 25^\circ\text{C}$, falls nicht anders angegeben
Reference point unless otherwise specified

Positive Versorgungsspannung Positive supply voltage	Pin 1	U_S	18	V
Verschiebespannung Shift voltage	Pin 8	U_g $-U_g$	$=U_{S1}$ 5	V
Sperrspannung Steuereingang Reverse voltage, control input	Pin 11	$-U_{IR}$	15	V
Negativer Versorgungsstrom Negative supply current	Pin 13	$-I_S$	25	mA
	Pin 15	$-I_S$	5	mA
Synchronisierstrom Synchronisation current	Pin 9	$\pm I_{Syn.}$	20	mA
Impulsstrom Steuereingang Control input pulse current	Pin 11	I_I	3	mA
Ausgangsströme Output currents	Pin 10	I_Q	20	mA
	Pin 14	I_Q	20	mA

UAA 145 · UAA 146

Gesamtverlustleistung <i>Total power dissipation</i>		P_{tot}	550	mW		
$t_{\text{amb}} \leq 70^{\circ}\text{C}$						
Sperrsichttemperatur <i>Junction temperature</i>		t_j	125	$^{\circ}\text{C}$		
Umgebungstemperaturbereich <i>Ambient temperature range</i>	UAA 145	t_{amb}	-25...+70	$^{\circ}\text{C}$		
	UAA 146	t_{amb}	0...70	$^{\circ}\text{C}$		
Lagerungstemperaturbereich <i>Storage temperature range</i>		t_{stg}	-25...+125	$^{\circ}\text{C}$		
Wärmewiderstände Thermal resistances			Min.	Typ.	Max.	
Sperrsicht-Umgebung <i>Junction ambient</i>		R_{thJA}	100	K/W		
Sperrsicht-Gehäuse <i>Junction case</i>		R_{thJC}	35	K/W		
Statische Kenngrößen DC characteristics						
$U_{\text{S}1} = 13...16 \text{ V}, -I_{\text{S}13} = 15 \text{ mA},$ Bezugspunkt <i>Reference point</i>		Pin 3,				
$t_{\text{amb}} = 25^{\circ}\text{C}$, falls nicht anders angegeben <i>unless otherwise specified</i>						
Positiver Versorgungsstrom <i>Positive supply current</i>						
$U_{\text{S}} = 16 \text{ V}$	UAA 145	Pin 1	I_{S}	12	30	mA
	UAA 146	Pin 1	I_{S}	12	35	mA
Z-Spannungen Fig. 8 <i>Z-voltages</i>						
$-I_{\text{S}13} = 15 \text{ mA}$		Pin 13	$-U_Z$	7,0	9,0	V
$-I_{\text{S}15} = 3,5 \text{ mA}$		Pin 15	$-U_Z$	7,0	9,0	V
$U_{\text{S}} = 13 \text{ V}, U_{\text{Syn.}9} = 0 \text{ V}$		Pin 16	U_Z	7,0	9,0	V
Verschiebestrom <i>Shift current</i>						
$U_{\text{S}} = 16 \text{ V}, U_{\varphi 8} = 13 \text{ V}, U_7 = 0 \text{ V},$ $I_{\text{Syn.}9} = 0,3 \text{ mA}$		Pin 8	I_{φ}	10	μA	
C_t -Potentialverschiebestrom <i>C_t-potential shift current</i>						
$U_{\text{S}} = U_{\text{I}2} = 13 \text{ V}, U_{\text{I}7} = 3 \text{ V},$ $I_{\varphi 8} = 5 \mu\text{A}, I_{\text{Syn.}9} = 0,3 \text{ mA}$		Pin 2	I_t	4,5		mA
C_t -Ladestrom <i>C_t-charging current</i>						
$U_{\text{S}} = 13 \text{ V}, U_{\text{I}2} = U_{\text{I}7} = U_{\varphi 8} = U_{\text{Syn}} = 0 \text{ V},$ $\frac{I_p}{T} = 0,01, I_p \leq 1 \text{ ms}$		Pin 2	$-I_t$	10	30	mA

UAA 145 · UAA 146

			Min.	Typ.	Max.
C_s -Ladestrom C_s -charging current					
$U_S = I_{I2} = U_{\varphi 8} = 13 \text{ V}$, $U_{I7} = U_{\text{Syn.9}} = 0 \text{ V}$					
$\frac{t_p}{T} = 0,01$, $t_p \leq 1 \text{ ms}$	Pin 7	$-I_I$	20	62	mA
Ausgangs-Sättigungsspannung Output saturation voltage					
$U_S = I_{I2} = 16 \text{ V}$, $U_{I7} = U_{\varphi 8} = 0 \text{ V}$, $I_{I11} = 50 \mu\text{A}$					
$I_{Q10} = 20 \text{ mA}$, $-I_{\text{syn9}} = 0,3 \text{ mA}$	Pin 10	U_{Qsat}	0,3	1,0	V
$I_{Q14} = 20 \text{ mA}$, $I_{\text{syn9}} = 0,3 \text{ mA}$	Pin 14	U_{Qsat}	0,3	1,0	V
Dynamische Kenngrößen AC characteristics					
$t_{\text{amb}} = 25^\circ\text{C}$, Fig. 2					
Anstiegszeit der Ausgangsspannung Rise time	Pin 10 Pin 14	t_r	0,5	μs	
Impulsbreite der Ausgangsspannung Fig. 7 Pulse width	Pin 10 Pin 14	t_p	0,1	4	ms
Symmetrie zweier Halbwellen Pulse phasing difference for two half-waves			0,1	4	ms
$f = 50 \text{ Hz}$		$\Delta\varphi$		$\pm 3^\circ$	
Gleichlauf mehrerer Integrierter Schaltungen Fig. 9 Inter IC phasing difference					
$f = 50 \text{ Hz}$		$\Delta\varphi$		$\pm 3^\circ$	
Vordere Impulsendlage Fig. 5 Pulse phasing front limit					
$f = 50 \text{ Hz}$		φ_V	177°		
Hinterne Impulsendlage Fig. 4, 5 Pulse phasing rear limit					
$f = 50 \text{ Hz}$		φ_H	0°		
Stromflußwinkel $\varphi = 0^\circ \dots 177^\circ$ bei $U_{\varphi 8} = 0,2 \dots 7,5 \text{ V}$, $\varphi_h = 0^\circ$, Fig. 5, 6 Angle of current flow at					

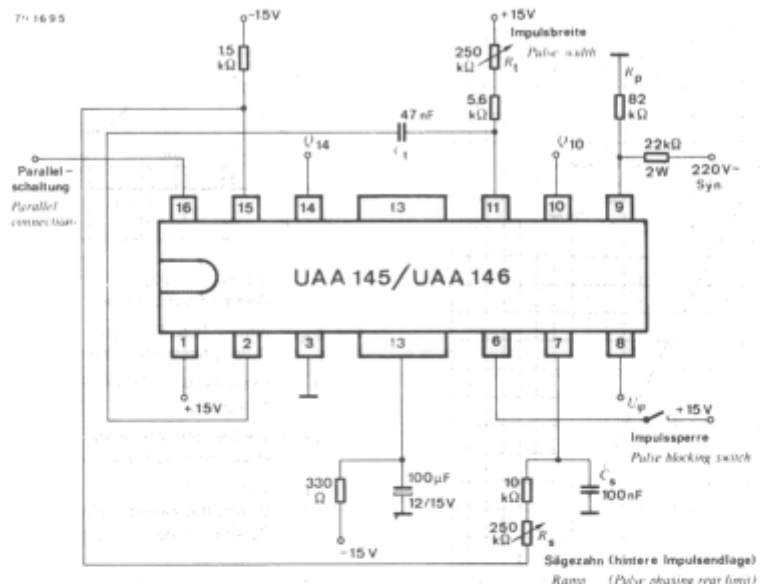
UAA 145 · UAA 146

Fig. 2 Meßschaltung für dynamische Kenngrößen
Test circuit for ac characteristics

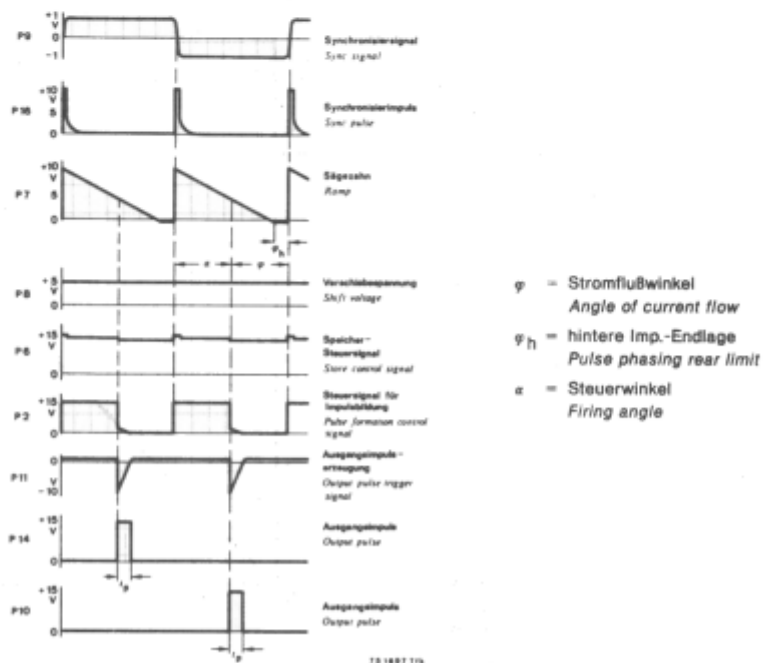
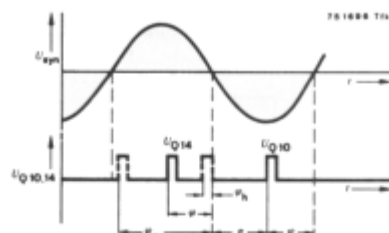
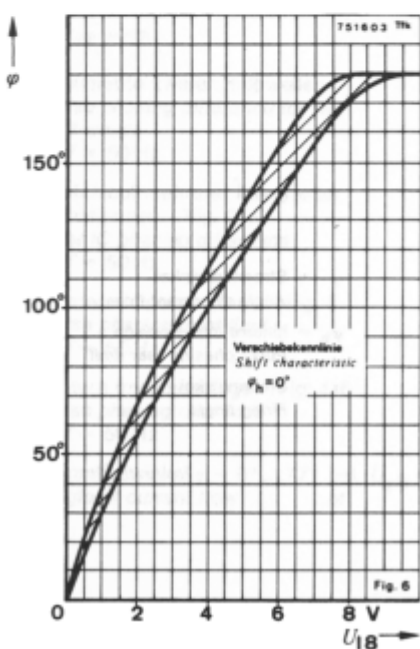
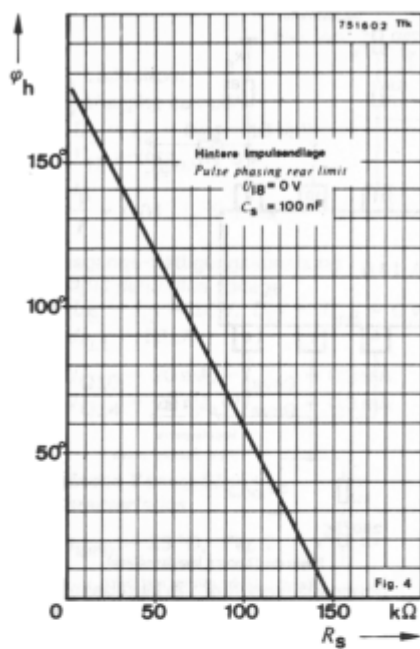
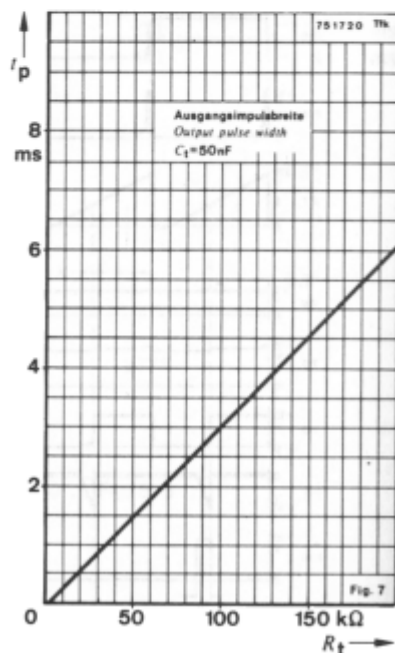


Fig. 3 Impulsdigramm des UAA 145 · UAA 146
Impuls diagram of the UAA 145 · UAA 146

UAA 145 · UAA 146

φ = Stromflußwinkel
 Angle of current flow
 φ_h = hintere Imp.-Endlage
 Pulse phasing rear limit
 α = Steuerwinkel = $180^\circ - \varphi$
 Firing angle
 φ_v = Vordere Impulsendlage
 Pulse phasing front limit
 $\Delta\varphi$ = $\varphi_{14} - \varphi_{10}$
 Symmetrie zweier Halbwellen
 Pulse phasing symmetry

Fig. 5 Hintere Impulsendlage
Pulse phasing rear limit



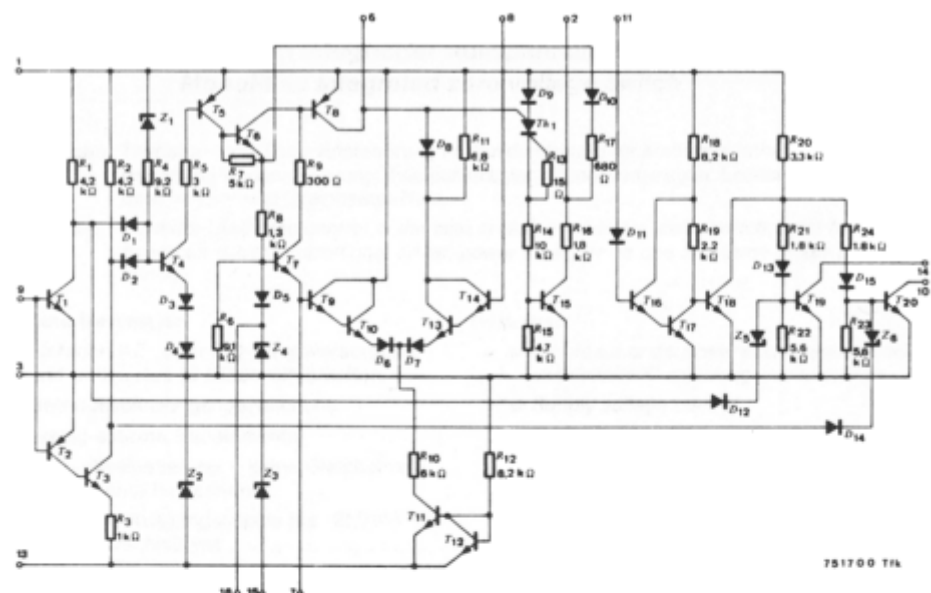
UAA 145 · UAA 146

Fig. 8 Schaltung und Anschlußbelegung
Diagram and pin connections

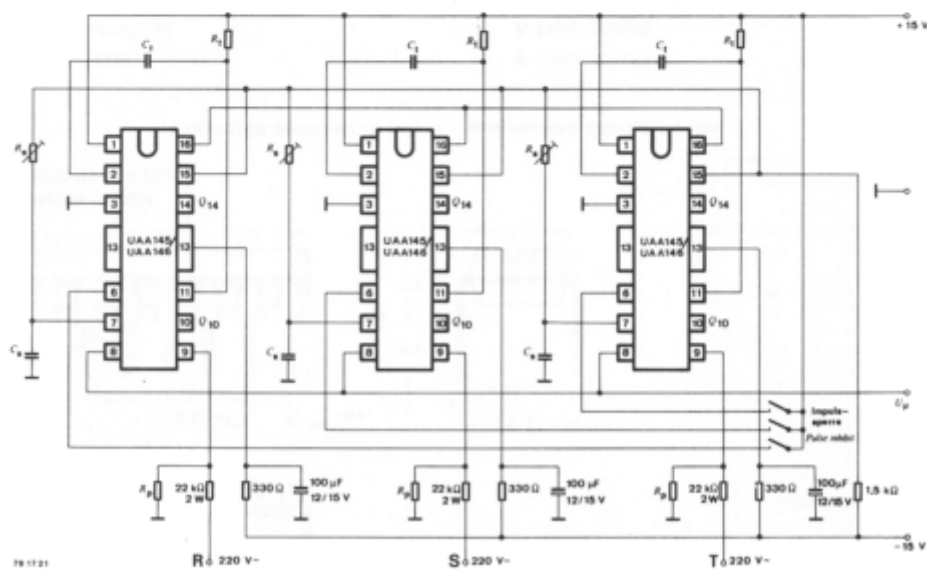
Anwendungsbeispiel · Application note

Fig. 9 Parallelschalten von 3 Ansteuerschaltungen für Drehstromanwendungen. Bei Mehrphasenbetrieb werden die Anschlüsse Pin 15 bzw. Pin 16 aller Ansteuerschaltungen untereinander verbunden.
Parallel connection for three-phase current applications. For polyphase operation connect all Pins 15 and Pins 16.